

平板状構造物に作用する非定常空気力特性とその実験的計測法について

京都大学工学部 正員 小西一郎
 京都大学工学部 正員 白石成人
 建設省 正員 浅沼秀雄

フラングの無い一樣な二次元平板が一様流速の二次元空気流中にあってねじれとたわみの二自由度建成微小振幅調和振動をあこなう場合、これに作用する非定常空気力の慣性項を無視すればこの系の運動方程式は次のようになります。

$$\begin{aligned} \ddot{\theta} + 2\zeta_a \omega_a \dot{\theta} + \omega_a^2 \theta &= -\frac{2\pi\rho b^2}{m} v^2 \left\{ C(\nu) \left(\alpha + \frac{\dot{\theta}}{v} \right) + [1 + C(\nu)] \frac{b}{2\nu} \dot{\alpha} \right\} \\ \ddot{\alpha} + 2\zeta_a \omega_a \dot{\alpha} + \omega_a^2 \alpha &= \frac{\pi\rho b^2 v^2}{I_p} \left\{ C(\nu) \left(\alpha + \frac{\dot{\theta}}{v} \right) - [1 - C(\nu)] \frac{b}{2\nu} \dot{\theta} \right\} \end{aligned} \quad (1)$$

このようなる運動系が定常振幅調和振動をあこなうために、次のフランクター行列式が零とならなければならぬ。

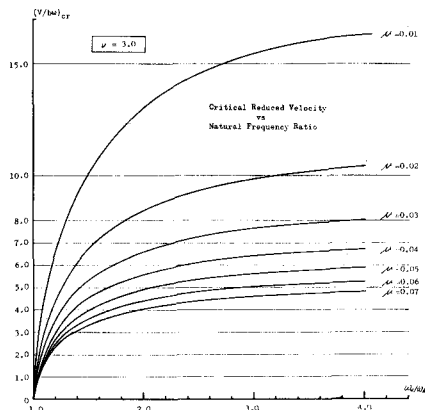
$$\begin{vmatrix} (-1 + \frac{1}{X^2} + \frac{M}{K} G) + (\frac{M}{K} F + 2\zeta_a \frac{1}{X}) i & (\frac{M}{K^2} F + \frac{M}{K} G) + (\frac{M}{K^2} + \frac{M}{K} F - \frac{M}{K^2} G) i \\ -\frac{M}{K} G - \frac{M}{K} F i & (-1 + \nu p^2 \frac{1}{X^2} - \frac{M}{K^2} F - \frac{M}{K^2} G) + (2\zeta_a P \frac{1}{X} + \frac{M}{K^2} G + \frac{M}{K} - \frac{M}{K^2} F) i \end{vmatrix} = 0 \quad (2)$$

$$\begin{aligned} \nu &= \frac{2\pi\rho b^2}{m} & \nu &= \frac{2I_p}{mb^2} & P &= \frac{\omega_a}{\omega_K} & X &= \frac{\omega}{\omega_K} & K &= \frac{b\omega}{\nu} \\ C(\nu) &= F(\nu) - iG(\nu) & & & & & & & \end{aligned}$$

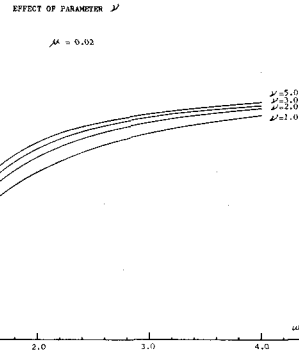
(2) 式が成立するためにはその実部と虚部が同時に零となることが必要であり、次に示す実部方程式と虚部方程式を同時に満足し、 X を試行錯誤的に見出すことにより、この平板のフランクター風速、フランクター固有振動数等が求められます。

実部方程式：

$$\begin{aligned} (\nu + \frac{M}{K^2} F + \frac{M}{K} G - \frac{M}{K^2} G - \frac{M^2}{K^2} F) X^4 + (-2\zeta_a p \frac{M}{K} F - 2\zeta_a \frac{M}{K^2} G - \zeta_a \frac{M}{K} + \zeta_a \frac{M}{K^2} F) X^3 \\ + (-1 - \nu p^2 - \frac{M}{K^2} F - \frac{M}{K^2} G + \frac{M\nu}{K} P^2 G - 4\nu \zeta_a \zeta_a p) X^2 + \nu P^2 = 0 \end{aligned} \quad (3)$$



(図-1)



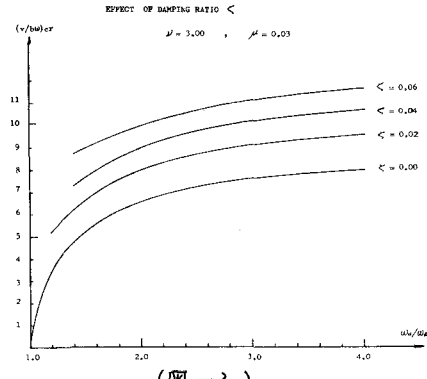
(図-2)

底部方程式；

$$-\frac{\mu}{\zeta_e} \left(\frac{G}{\zeta_e} + \frac{1}{\zeta_e} - \frac{F}{\zeta_e} - \frac{\mu}{\zeta_e} G + \nu F \right) X^3 - Z (\nu \zeta_e + \nu \zeta_e p - \zeta_e p \frac{\mu}{\zeta_e} G + \zeta_e \frac{\mu}{\zeta_e} F + \zeta_e \frac{\mu}{\zeta_e} G) X^2 + (p^2 \frac{\mu}{\zeta_e} F + \frac{\mu}{\zeta_e} G + \frac{\mu}{\zeta_e} - \frac{\mu}{\zeta_e} F) X + Z \nu (\zeta_e p + \zeta_e p^2) = 0 \quad (4)$$

パラメーター μ, ν および固有振動数比 p がフラッターホップ風速に及ぼす影響を調べるために、図の一例を (図-1), (図-2) に示す。ただし、減衰比は $\zeta_d = \zeta_a = 0$ とする。これから明らかなように、フラッターホップ風速の影響はあまり受けない。パラメータ μ に大きく変化することわかる。 (図-3) は減衰比 ζ の影響を調べたための図の一例である。(ただし $\zeta_d = \zeta_a = \zeta$) とすると。

実橋の場合の構造減衰は $\zeta \leq 0.01$ と考えられるから、減衰の効果により耐風性は若干向上する。一方、パラメータ ν は $(V/bw)_{cr}$ に及ぼす影響は小さく、減衰のある場合の減衰の効果は大きくすることができるが、数値計算上確かられた。



1934年 Th.Theodorsen によて求められた振動二次元平板に作用する非定常空気力は、振動を指標的に表示する二式から出発していい。そのため、それが直ちに物理的意味を持つ空気力を表すといつていいわけではない。平板に作用する非定常空気力を実数とし、虚数とすれば Theodorsen の示した空気力を実部と虚部に分離する必要となり、この操作の後、揚力 L および四面モーメント M_x は次のようになる。

$$\begin{aligned} L &= -\pi p b^2 \{ v \ddot{d} + \ddot{d} - b a \ddot{\alpha} \} - 2\pi p v b F \{ v d + \dot{d} + b(\frac{1}{2}-a)\ddot{\alpha} \} + 2\pi p v b G \{ v \frac{\dot{d}}{w} + \frac{\ddot{d}}{w} + b(\frac{1}{2}-a)\frac{\ddot{\alpha}}{w} \} \\ M_x &= -\pi p b^2 \{ (\frac{1}{2}-a)v b \ddot{d} + b^2 (\frac{1}{8}+a^2) \ddot{\alpha} - ab \ddot{\alpha} \} + 2\pi p v b^2 (a+\frac{1}{2})F \{ v d + \dot{d} + b(\frac{1}{2}-a)\ddot{\alpha} \} \\ &\quad - 2\pi p v b^2 (a+\frac{1}{2})G \{ v \frac{\dot{d}}{w} + \frac{1}{w}\ddot{d} + b(\frac{1}{2}-a)\frac{1}{w}\ddot{\alpha} \} \end{aligned} \quad (5)$$

二式から明らかなように、二次元平板に作用する非定常空気力は $\dot{d}, \ddot{d}, \dot{\alpha}, \ddot{\alpha}$ の線形結合で表される。ここで次の式を非定常空気力係数 H_i, A_i ($i=1, 2, \dots, 5$) を用いて表せばよい。

$$\begin{aligned} L &= m \{ H_1 \dot{d} + H_2 \dot{d} + H_3 d + H_4 \ddot{d} + H_5 \ddot{\alpha} \} \\ M_x &= I_p \{ A_1 \dot{d} + A_2 \dot{d} + A_3 d + A_4 \ddot{d} + A_5 \ddot{\alpha} \} \end{aligned} \quad \} \quad (6)$$

(6) 式と (5) 式と対応させることにより、二次元平板に対する理論的な非定常空気力係数 (5) 次の式) になる。(印は無次元非定常空気力係数である。)

$$\begin{aligned} H_1 &= -\frac{2\pi p b^2 v^2}{m} \frac{F}{v} = \frac{pb^2 w}{m} H_1^*, & A_1 &= \frac{\pi p b^2 v^2}{I_p} \cdot Z(a+\frac{1}{2}) \frac{F}{v} = \frac{pb^2 w}{I_p} A_1^* \\ H_2 &= -\frac{2\pi p b^2 v^2}{m} \{ (\frac{1}{2}-a) \frac{b}{v} F + \frac{b}{2v} - \frac{G}{w} \} = \frac{pb^2 w}{m} H_2^*, & A_2 &= \frac{\pi p b^2 v^2}{I_p} \{ Z(\frac{1}{4}-a^2) \frac{b}{v} F - (\frac{1}{2}-a) \frac{b}{v} - Z(a+\frac{1}{2}) \frac{G}{w} \} = \frac{pb^2 w}{I_p} A_2^* \\ H_3 &= -\frac{2\pi p b^2 v^2}{m} F = \frac{pb^2 w}{m} H_3^*, & A_3 &= \frac{\pi p b^2 v^2}{I_p} \cdot Z(a+\frac{1}{2}) F = \frac{pb^2 w}{I_p} A_3^* \\ H_4 &= -\frac{\pi p b^2}{m} \{ 1 - Z \frac{v}{bw} G \} = \frac{pb^2}{m} H_4^*, & A_4 &= \frac{\pi p b^2 v^2}{I_p} \{ a \frac{b}{v^2} - Z(a+\frac{1}{2}) \frac{1}{vw} G \} = \frac{pb^2}{I_p} A_4^* \\ H_5 &= \frac{\pi p b^2}{m} \{ ba + Z(\frac{1}{2}-a) \frac{v}{w} G \} = \frac{pb^2}{m} H_5^*, & A_5 &= -\frac{\pi p b^2 v^2}{I_p} \{ (\frac{1}{8}+a^2) \frac{b^2}{v^2} + Z(\frac{1}{4}-a^2) \frac{b}{vw} G \} = \frac{pb^2}{I_p} A_5^* \end{aligned}$$

参考；第25回年次学術講演会講演概要集 第一部 I-150 "平板に作用する非定常空気力に関する研究"